

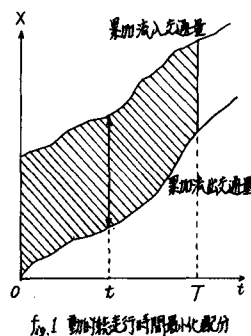
名古屋大学 正員 河上 省吾
○名古屋工業大学 正員 溝上 章志
愛知県正員 鈴木 稔幸

1.はじめに

本研究の目的は、動的総走行時間最小化配分に従う多種ODの動的フローを求めるモデルを開発することにある。動的配分モデルは、①シミュレーション手法¹⁾②各時間断面で静的手法を利用する方法²⁾③モデルの動量化手法³⁾に分類できる。①②は実用的ではあるが理論的根柢に薄い。③は時々刻々と変動する交通現象を再現でき、任意の行動規範に従って交通需要を予測できるが、現実のネットワークへの適用には、非線形性、計算時間等の制約により、かなり困難と思われる。本モデルは、松井³⁾の数学モデルと理論的基礎とし、MerchantのOrdered Solution Property(以後O.S.P.と記す)を持つLPによる定式化を、時間区間別OD別リンク交通量を変数とした0-1混合整数計画問題に拡張したもので、モデルの実用化のための解法についても考察を加えている。

2.動的総走行時間最小化配分の定式化

動的総走行時間最小化配分とは、一定時間帯に道路網を走行する車の総走行時間と最小にする配分であり、そのフローを求めるためにはFig.1の斜線部分の面積を最小にするば良い。今、時間帯を微小時間間隔 Δt ずつに離化すると、時間区間別OD別リンク交通量 $X_{i,j,t}^{ij}$ は以下の数理計画問題(P1)の解として求めることができる。



(P1)

$$\text{Min: } \sum_{i,j} \sum_t^T \sum_{l} X_{i,j,t}^{ij} \cdot \Delta t \quad (1)$$

st. <状態方程式> $i, j, l \in \mathcal{N}, t$

$$\sum_{k} X_{i,k,t}^{ik} = \sum_{k} X_{k,j,t}^{kj} - \sum_{k,l} \alpha_{k,l}^{ij} g_k(X_{k,t}) + \sum_{k,l} \alpha_{k,l}^{ij} g_k(X_{k,t}) \quad \text{if } j \neq i, k \neq j \quad (2)$$

$$\sum_{k} X_{i,k,t}^{ik} = \sum_{k} X_{k,j,t}^{kj} - \sum_{k,l} \alpha_{k,l}^{ij} g_k(X_{k,t}) + Q_{i,j,t}^{ij} \quad \text{if } j = i, k \neq j \quad (3)$$

$$\sum_{k} X_{i,k,t}^{ik} = 0 \quad \text{if } j \neq i, k \neq j \quad (4)$$

$$<\text{容量制約}> \quad X_{i,l,t} = \sum_j \sum_k X_{i,k,t}^{ik} \leq C_l \quad \forall i, l, t \quad (5)$$

$$<\text{非負条件}> \quad X_{i,k,t}^{ik} \geq 0 \quad \forall i, k, t, l \quad (6)$$

ここで、 $(i,j): 0 \text{ オペア } (i)=1, \dots, N$ 、 \mathcal{N}_{OD} : 有向グラフ $G^*=\{\mathcal{N}_{\text{OD}}\}$ 、 l : アーチ番号 ($l=1, \dots, L$)、 t : 時間区間 ($t=0, 1, \dots, T$)、 $X_{i,l,t}$: 時間区間 t のアーチ l 上交通量、 $A(\beta)$: β から出るアーチ集合、 $B(\beta)$: β に入るアーチ集合、 $g_k(\cdot)$: アーチ l からの流出閾数、 $Q_{i,j,t}^{ij}$: 時間区間 t 、 (i,j) ODペアの発生交通量、 C_l : アーチ l の交通容量を示している。

3.部分線形化、0-1変数の導入による再定式化

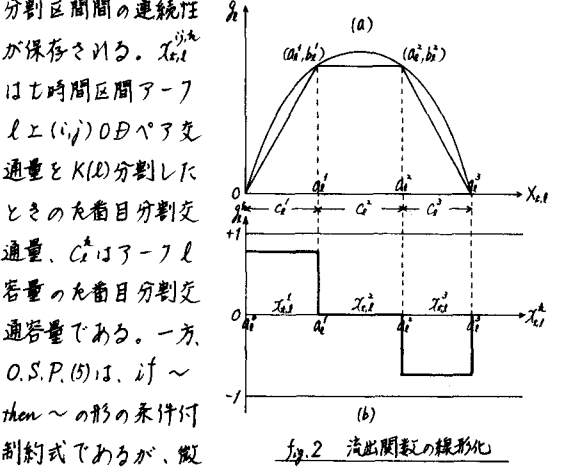
流出閾数 $g_k(X_{k,t})$ は $g_k(X_{k,t}) = (A_k - B_k X_{k,t}/L_k)(X_{k,t}/L_k)$ 等の非線形閾数であるから、(P1)は非線形計画問題となる。しかし、 $X_{k,t}$ の一元関数であるから、交通量 $X_{k,t}$ を $K(l)$ 分割することによるとFig.2(a)に示すように、 g_k は $a_k^t \leq X_{k,t} \leq a_k^{t+1}$ で $g_k = b_k^t + g_k^{t+1}(X_{k,t} - a_k^t)$ のように近似することができる。ここで、 (a_k^t, b_k^t) 、 $k=1, \dots, K(l)$ は $g_k(X_{k,t})$ と折線との交点であり、 $g_k^{t+1} = (b_k^{t+1} - b_k^t) / (a_k^{t+1} - a_k^t)$ である。 $0 \leq X_{k,t} \leq a_k^t - a_k^{t-1}$ なるよう $X_{k,t}$ を $K(l)$ 分割したとき

$$X_{k,t}^{ij} > 0 \text{ のならば } X_{k,t}^{ij} = a_k^t - a_k^{t+1} = C_l^t \text{ とする} \quad (5)$$

というO.S.P.のもとで、 $g_k(X_{k,t})$

$$X_{k,t} = \sum_{k=1}^{K(l)} X_{k,t}^{ij} \quad \text{かつ} \quad g_k = b_k^t + \sum_{k=1}^{K(l)} g_k^{t+1} X_{k,t}^{ij} \quad (6)$$

なる線形式で表わすことができる。 $g_k(X_{k,t}) \leq X_{k,t}$ であるから $|g_k| \leq 1$ となり、 g_k^{t+1} と $X_{k,t}^{ij}$ との関係はFig.2(b)のようになる。また、 $C_l^t = X_{k,t}^{ij} / X_{k,t} = X_{k,t}^{ij} / X_{k,t}^{ij} = \text{const.}$ から、式(2)において $\sum_k \alpha_{k,l}^{ij} g_k(X_{k,t}) = \sum_k X_{k,t}^{ij} / X_{k,t} \sum_{k=1}^{K(l)} g_k^{t+1} X_{k,t}^{ij} = \sum_{k=1}^{K(l)} g_k^{t+1} X_{k,t}^{ij}$ となり、分割区間間の連続性



小定数 ε と 0-1 変数 $y_{t,l}^{j,k}$ を用いると、

$$\left. \begin{array}{l} C_t^k - \sum_j \sum_l y_{t,l}^{j,k} \geq \varepsilon (1 - y_{t,l}^{j,k}) \\ C_t^{k+1} y_{t,l}^{j,k} - \sum_j \sum_l y_{t,l}^{j,k} \geq 0 \\ \sum_j \sum_l y_{t,l}^{j,k} \geq C_t^k y_{t,l}^{j,k} \\ y_{t,l}^{j,k} = 0 \text{ or } 1 \quad t, j, l, k=1, \dots, K(L)-1 \end{array} \right\} \quad (7)$$

する線形不等式と同値になるから、(P1) は以下に示す 0-1 混合整数計画問題(P2) に再定式化できる。

(P2)

$$\begin{aligned} \text{Min: } & \sum_t \sum_j \sum_k \sum_l T_{t,j,k}^{l,k} y_{t,l}^{j,k} - d_t \quad (8) \\ \text{s.t. } & \langle \text{状態方程式} \rangle \quad t, j, l, k \in N, t \\ & \sum_{k=1}^{K(L)} \sum_l T_{t,j,k}^{l,k} = \sum_{k=1}^{K(L)} \sum_l T_{t,j,k}^{l,k} - \sum_{k=1}^{K(L)} \sum_l T_{t,j,k}^{l,k} + \sum_{k=1}^{K(L)} \sum_l T_{t,j,k}^{l,k} \quad (9) \\ & \sum_{k=1}^{K(L)} \sum_l T_{t,j,k}^{l,k} = \sum_{k=1}^{K(L)} \sum_l T_{t,j,k}^{l,k} - \sum_{k=1}^{K(L)} \sum_l T_{t,j,k}^{l,k} + Q_{t,j} \quad (10) \\ & \sum_{k=1}^{K(L)} \sum_l T_{t,j,k}^{l,k} = 0 \quad (11) \\ & \langle \text{容量制約} \rangle \quad \sum_l T_{t,j,k}^{l,k} \leq C_t^k \quad t, j, l, k \quad (12) \\ & \langle \text{流出量非負条件} \rangle \quad \sum_l T_{t,j,k}^{l,k} \geq 0 \quad t, j, l, k \quad (13) \\ & \langle \text{非負条件} \rangle \quad T_{t,j,k}^{l,k} \geq 0 \quad t, j, l, k \quad (14) \\ & \langle \text{O.S.P} \rangle \quad \text{式(7)} \end{aligned}$$

4. 解法に関する考察

(P2) の決定変数は、実数解 $x_{t,j,k}^{l,k}$ が $T \cdot N \cdot L \cdot \sum_k K(L)$ 、整数解 $y_{t,l}^{j,k}$ が $T \cdot L \cdot \sum_k K(L)$ となり、係数行列も極めて大きくなる。モデルを実用化するためには、制約条件のマトリックス構造を把握し、その特性を有効に利用した解法を適用することが重要である。そこで、式(7), (9)~(12) の右制約条件をマトリックスを用いて表現すると以下のようになる。

$$M^T X_{t+1} + (M^T(G-I) - M^T G) X_t = 0$$

$$(9) \rightarrow M^T I X_{t+1} + M^T(G-I) X_t = 0$$

$$M^T I X_{t+1} = 0 \quad (15)$$

$$(10) \rightarrow F X_t \leq Q$$

$$(11) \rightarrow -A X_t \leq 0$$

$$(F : \varepsilon E) Z_t \leq Q_t$$

$$(7) \rightarrow (\bar{P} : \bar{P}) Z_t \leq 0$$

$$(-F : R) Z_t \leq 0 \quad (16)$$

$$I = \begin{pmatrix} \bar{I}_L & 0 \\ 0 & \bar{I}_L \end{pmatrix}, \quad G = \begin{pmatrix} \bar{g}_L & 0 \\ 0 & \bar{g}_L \end{pmatrix}, \quad \bar{I}_L = \underbrace{\begin{pmatrix} 1 & \dots & 1 \end{pmatrix}}_{K(L)}, \quad \bar{g}_L = \begin{pmatrix} g_L^1 & g_L^2 & \dots & g_L^{K(L)} \end{pmatrix},$$

$$M^T = \{m_{j,k}^l\} = \begin{cases} m_{j,k}^l & \text{if } m_{j,k}^l = 1 \\ 0 & \text{otherwise,} \end{cases} \quad M = \{m_{j,k}\} = \begin{cases} m_{j,k} & \text{if } m_{j,k} = 1 \\ 0 & \text{otherwise,} \end{cases}$$

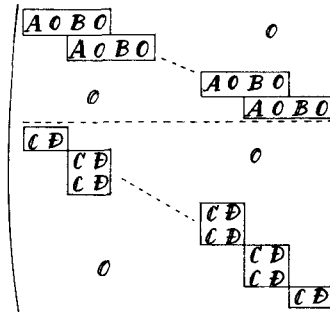
$M = \{m_{j,k}\}$: インデックスマトリックス,

$$F = (E - E), \quad Q = (C_L^1 \ C_L^2 \ \dots \ C_L^{K(L)})^T, \quad Q_L: Q_L \text{要素から} \varepsilon \text{をひいた行列},$$

$$A = (G - G), \quad E: E \text{を} \sum_k K(L) \text{の単位行列},$$

$$\bar{P} = \begin{pmatrix} 0 & 1 & 0 & \dots & 0 & 1 \\ 0 & 0 & 1 & \dots & 0 & 0 \\ \vdots & \vdots & \vdots & \ddots & \vdots & \vdots \\ 0 & 0 & 0 & \dots & 0 & 0 \end{pmatrix}, \quad \bar{P} = \begin{pmatrix} -C_L^1 & 0 & \dots & 0 \\ -C_L^2 & 0 & \dots & 0 \\ \vdots & \vdots & \ddots & \vdots \\ 0 & 0 & \dots & 0 \end{pmatrix}, \quad R = \begin{pmatrix} C_L^1 & 0 & \dots & 0 \\ C_L^2 & 0 & \dots & 0 \\ \vdots & \vdots & \ddots & \vdots \\ 0 & 0 & \dots & 0 \end{pmatrix}$$

$X_t = (x_{t,1}^{j,k} \ x_{t,2}^{j,k} \ \dots \ x_{t,L}^{j,k})^T, \quad Y_t = (y_{t,1}^{j,k} \ y_{t,2}^{j,k} \ \dots \ y_{t,L}^{j,k})^T, \quad Z_t = (X_t^T \ Y_t^T)^T$ であり、式(13)の X_t, X_{t+1} の係数ベクトル、右辺ベクトルをそれぞれ A, B, Q, Q_t とする。時間区間 t と $t+1$ の制約条件マトリックスは以下のような nested な階級構造を持つ。また、 $(-A)$: $F \bar{F} \bar{P}^T F^T = C$ 、 $(0 : \varepsilon E \bar{P}^T R^T = D$ となる。行の入換等の変形を行った後の全時間帯にわたる制約条件の係数マトリックスは、左図のように、連続変数と整数変数が分離でき、整数変数がプロツト条件式にのみ含まれるよう丁寧な構造となる。このよう



構造を持つ混合整数計画問題に対する有効なアルゴリズムは三宮⁵⁾により開発されており、通常の分枝限法に比べて極めて計算能力が高く、本研究で対象としているような大規模な問題にも十分対応できるものと考えられる。

5. おわりに

本研究では、動的走行時間最小化配分に従う多動の動的フローを求めるためのモデルと、時間区間別に動的リンク交通量を変数とした 0-1 混合整数計画問題として定式化し、実用化のための解法について考察を加えた。実際の道路網への適用、変数の低減、等時間原則配分へのモデルの拡張、動的 O/D 交通量の予測手法の開発が今後の課題である。

参考文献

- 1) 丹山・中村：動的走行量配分手法、交通工学、Vol.17, No.2, pp.4-14, 1982
- 2) 沢上・瀧江・鈴木：実用的 O/D 時間帯別走行量配分手法の開発とその適用性に関する検討、第39回地質力学講演会講演集収録中、1984
- 3) 松井：統一走行時間最小化配分と等時間原則配分の動的化、土木学会論文報告集、No.329, pp.239-242, 1983
- 4) K Merchant: A Model and an Algorithm for the Dynamic Traffic Assignment Problem, Transportation Science, Vol.12, No.3, pp.183-199, 1978
- 5) 三宮・端津・深野：時間構造を持つ混合整数線形計画問題の解法、計測自動制御学会論文集、Vol.16, No.2, pp.210-215, 1981